

# 5032 感应加热气体渗碳

A·Д·阿松諾夫 K·З·謝佩利亞科夫斯基 П·А·兰金著

白云昭譯

中国工业出版社

TG156.8 II

本书叙述用高頻电流加热时气体渗碳过程的实际情况。初次收入了經過实际檢驗、适用于成批处理齒輪的資料。同时，詳細叙述进行渗碳过程的条件，以及齒輪成批生产用的装置。

本书可供有关的工程技术人员参考。

А. Д. Ассонов, К. З. Шепедяковский, П. А. Лапкин  
ГАЗОВАЯ ЦЕМЕНТАЦИЯ С ИНДУКЦИОННЫМ НАГРЕВОМ  
МАШГИЗ 1958

\* \* \*

感应加热气体渗碳

白云昭譯

\*

机械工业图书編輯部編輯 (北京苏州湖南141号)

中国工业出版社出版 (北京修善園路丙11号)

(北京市书刊出版事业許可證出字第110号)

机械工业出版社印刷厂印刷

新华书店北京发行所发行·各地新华书店經售

\*

开本 850×1168<sup>1</sup>/32 · 印張 2 5/8 · 字数 56,000

1963年8月北京第一版·1963年8月北京第一次印刷

印数 0,001—3,624 · 定价(10-6)0.44元

\*

统一书号：15165 · 2284(一机-482)

## 序 言

渗碳处理是承受磨损的钢件表面硬化最常用的方法之一。

这种方法的发展历史可追溯至远古时期，当时主要用炭、骨骼、皮革等固体有机物质作渗碳剂。

气体渗碳首先在俄国著名的冶金学家阿諾索夫(П. П. Аносов)于1837年在兹拉托乌斯特工厂所采用。然后，只是在廿世纪初，此法才在美国获得实际应用，而在廿年代才由莫斯科中央机器制造与工艺科学研究院开始加以研究。

在明克维奇(Н. А. Минкевич)教授的指导下，在伊里因斯基(С. К. Ильинский)教授、普罗斯维林(В. И. Просвирин)教授、穆亚索也多夫(А. Н. Мясоедов)工程师的直接参加下曾对钢件在从石油产物中得到的富含碳氢化合物的气体介质中的渗碳过程进行了研究。

在三十年代，在编制莫斯科汽车厂热处理车间的改建设计书时曾经采用了气体渗碳法，而且首先在苏联于1936年创制了以煤油热解热裂气体作渗碳剂进行零件渗碳用的装置。

气体渗碳是在连续式马弗炉中进行的。

气体渗碳在生产中的应用，改善了工作条件，实现了零件装卸和运送的机械化及自动化。

在气体渗碳过程的基础上，随后也研究成功了渗碳零件的直接淬火法，这就大大地简化了热处理的工艺过程，同时还降低了处理的费用，改善了零件的质量。

新的工艺过程——气体渗碳并直接淬火——要求冶炼出新牌号钢。这种牌号钢具有与渗碳后无需再次加热相适应的特点。

莫斯科汽车厂与汽车发动机科学研究所共同研究成功的18ХГТ牌号钢符合于在马弗炉内加热时气体渗碳工艺的要求，在

淬火前不需要再次加热。

1947年，在該厂开始了利用高频电流加热进行零件气体渗碳的研究。

这项工作，在1953年完成，使第一台工业用装置应用到了生产中去。

新的渗碳过程能保証大大地提高劳动生产率，降低成本，改善零件的质量。

这一工作的主要意义在于为渗碳时实际应用大大超过  $A_{c3}$  点的温度（达1150~1200°）創造了条件。这就在科学面前提出了一系列新的問題，而其中大部分是到目前为止尚未充分研究过的。属于这类問題的有：提高渗碳时的加热温度对鋼的渗碳层的組織、晶粒的大小、碳化物的溶解度、渗碳速度以及对机械性能和耐磨性的影响。渗碳溫度的提高提出了要創造新牌号鋼的任务。

在本书中叙述了作者在研究工作中及在生产中应用第一批感应加热快速气体渗碳用机组时所积累的經驗。当然，讀者不可能在这本书里找出由于这一新的热处理过程进一步发展而产生的各种問題的解答。

但是，本书向讀者介紹了目前在設計渗碳装置以及在研究和在生产中应用这一新的处理方法时首先所要考慮的問題。

同作者一起积极参加創立感应加热快速渗碳工作的有雅茨科夫（С. А. Яицков）工程师、施克雅罗夫（И. Н. Шкляров）工程师、拉宾（М. О. Рабин）工程师和謝紐什金（Н. В. Сенюшкин）、瑞瓦德夫斯基（А. Н. Животовский）、包里索夫（Н. И. Борисов）等同志。

# 目 次

## 序言

第一章 鋼制機器零件滲碳的現代方法 .....	1
1 滲碳的目的及對滲碳零件質量的要求 .....	1
2 現代滲碳方法的特點 .....	3
3 加速滲碳過程的途徑 .....	5
4 鋼號的選擇 .....	13
第二章 感應加熱快速氣體滲碳用的設備 .....	33
1 齒輪感應加熱滲碳用周期式機組 .....	33
2 齒輪快速滲碳用連續式機組 .....	39
3 快速滲碳用的連續式雙室機組 .....	57
4 感應加熱時齒輪快速滲碳和等溫退火用連續式機組 .....	65
5 軸承環快速滲碳用連續式機組 .....	68
6 快速滲碳後零件淬火用機床 .....	71
第三章 感應加熱快速滲碳的實際應用 .....	74
參考文獻 .....	80

## 第一 章

### 鋼制机器零件滲碳的現代方法

#### 1 滲碳的目的及对滲碳零件质量的要求

滲碳处理是机器零件表面强化最常用的方法之一。此法所以得到广泛应用的原因，是因为只有碳才能使淬火状态鋼的硬度增高。

目前工业中采用的几种滲碳方法是：固体滲碳、气体滲碳、液体滲碳和气体氯化。

所有这些滲碳方法，都是在鋼与一氧化碳或甲烷的相互反应过程中鋼被碳饱和而实现的。

鋼被碳饱和的过程应按照一定的規律进行，即应保证使零件表面的碳能渗入内部，而且碳浓度的分布应使表面上没有围绕奥氏体晶界的网状过剩碳化物存在。

有过剩碳化物相形成，尤其是碳化物相形成連續的滲碳体网是绝对不容许的，否则，滲碳层在淬火后会产生很显著的脆性，使零件表面很快即被磨损。

少量的滲碳体，特别是以分散的球形夹杂物形态存在是许可的，因为这种夹杂物很硬，能使磨损减小。

鋼被碳饱和的过程为一个扩散过程，主要取决于温度；随着温度的升高，扩散速度增快，从而使滲碳层的深度增加，而且碳浓度的分布也更为均匀。

碳在表面层中的饱和度，应保证使鋼在淬火后具有良好的性能；碳在表面层中的极限含量以不超过1.0%为宜。

对滲碳层质量的要求，在碳的饱和度方面对于碳鋼和对于合金鋼都是一样的。

渗碳质量的另一个指标是渗碳层深度。其基本規則可簡述如下：鋼在原始状态下的含碳量愈高，渗碳层的深度应愈小。

譬如，对模数为 3~4 毫米的 18XIT 低碳鋼制齒輪牙齿的渗碳层深度如采取 1.0 毫米时，那么对于模数相同而由 30XIT 中碳鋼制齒輪，渗碳层深度可以采取 0.5~0.7 毫米。

現在还没有作为确定渗碳层深度的一定标准，因此应以實驗数据作为根据。

研究确定：随渗碳层深度的增加，其疲劳强度降低。由此可见，减小渗碳层的深度，不仅可以降低渗碳过程的成本，而且还可以延长零件的寿命。

[渗碳层深度] 这一术语是相对的，因为在各企业中量取渗碳层深度的方法是不相同的。在一些企业中，渗碳层深度是从表层計算到原始組織处为止，而在另一些企业中是計算到出現鐵素体处为止，还有一些企业则是計算到碳濃度为 0.45~0.50% 的过渡层的一半处为止。渗碳层深度是将退火后的磨片放在显微鏡下进行测量的。

在李哈乔夫汽車厂是取至原始組織处的深度（包括过渡层在内）为止作为渗碳层深度的。

最后，还有一点也是很重要的，就是零件在渗碳后的热处理，不仅要保証渗碳层具有一定的硬度和組織，而且也要保証心部具有一定的硬度和組織。

心部的組織应为索氏体組織，絕不許有鐵素体存在，因为鐵素体的强度很低，在临界載荷下其晶粒內可能会有裂縫形成，并会发展形成疲劳裂紋。

能否得到淬火索氏体，这将視鋼的含碳量和淬透性以及零件的大小而定。譬如，一根有三个模数不同的齒輪的副軸，其各齒輪牙齿心部的組織将是彼此不同的，因为牙齿心部的淬火速度是不一样的。

通常认为，零件在淬火及低温回火后，其表面硬度应不低于  $R_c = 56$ 。此硬度相应于有少量殘余奧氏体存在时的硬度，如果配

合的表面具有与此相同或略高的硬度时，为了保証磨擦表面的抗磨性，少量奥氏体的存在实际上是完全容許的。硬度的上限一般为  $R_c = 62$ 。

制造渗碳零件用的钢，必须具有一定的淬透性，以使在紧接渗碳层的区域譬如在齿轮牙齿的心部能得到不低于  $R_c = 35$  的硬度，并且在组织中没有铁素体存在。

经验証明：为了避免脆性过大，心部硬度的上限可以規定在  $R_c = 45$  以下。

在保持规定的渗碳层深度下，如渗碳层和心部的组织和硬度配合适当，就能使零件的寿命提高。

## 2 現代渗碳方法的特点

气体渗碳法的特点，是可以直接淬火，其实质就是在渗碳之后先将零件預冷至  $830 \sim 870^{\circ}\text{C}$ ，然后进行淬火（一般都是在油中）。

在机器制造厂采用气体渗碳法的同时，冶金工厂也掌握了控制晶粒大小的炼钢法，于是气体渗碳并直接淬火的方法便在苏联和国外的工业中获得了广泛的应用。

气体渗碳后直接淬火能减小变形，因而提高了零件的质量，这对制造齿轮有着重大的意义。此外，投资額和生产費用也大大地减少了。

这一先进的渗碳零件的热处理方法使设计連續作业装置成为可能，在这种装置內可以进行零件的渗碳、直接淬火、清洗及低温回火。

在这种装置上进行渗碳时，溫度規范以及装料工序和零件的移动都是自动控制的。

气体渗碳过程的改进使創制无馬弗罐的渗碳炉成为可能，因而显著地降低了零件热处理的成本。

图 1 所示为一台連續作业机组，由无馬弗罐的气体渗碳炉、机械化淬火槽、清洗机和回火炉所組成。当零件渗碳层深度为 1.0

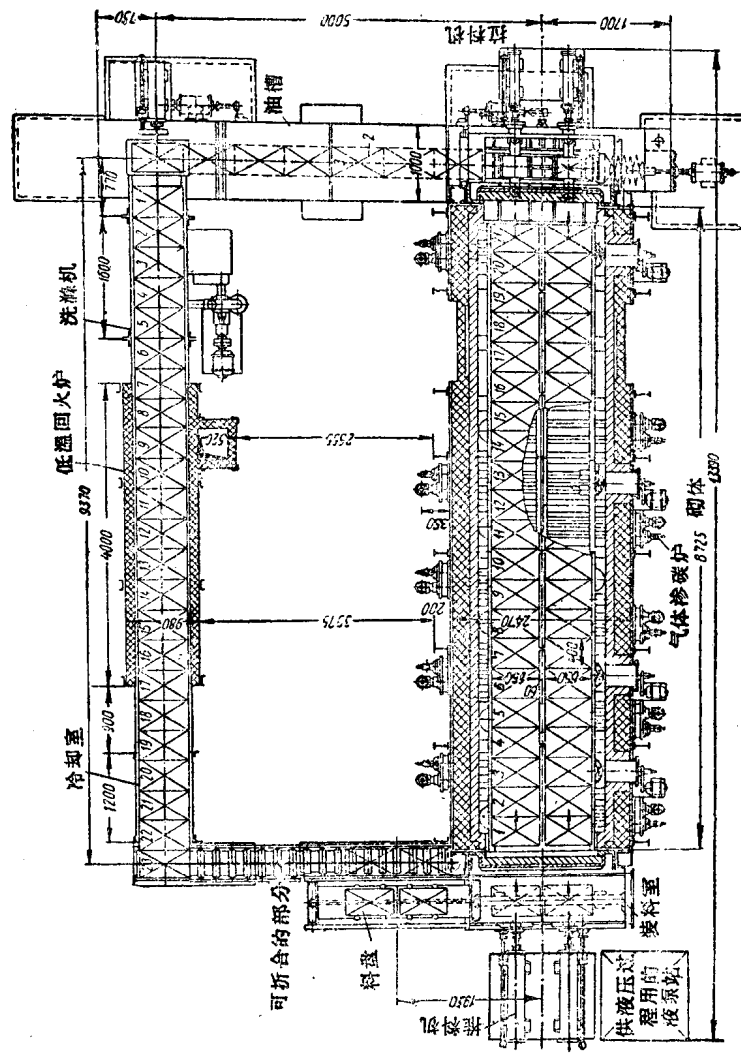


图1 齿輪气体渗碳、直接淬火、清洗和回火用的連續作业机组（国立黑色冶金鑄鋼与軋鋼设备設計院）。

毫米时，此机组的生产率为每小时 700 公斤。

此机组的缺点是炉子砖衬的耐火度和炉子的金属零件（管状加热器）的耐热性不够高，不可能将炉温提高到 $930\sim950^{\circ}\text{C}$ 以上，因而使渗碳过程的时间受到限制。

### 3 加速渗碳过程的途径

渗碳处理的主要缺点是渗碳过程的时间太长。早在二十年前就曾尝试过寻求缩短渗碳过程时间的方法。经过实验证明，解决这一问题有两个可能的方向：其一是利用电流对被加热钢和渗碳剂的特殊作用来加速渗碳过程，另一个是仍用普通的渗碳炉但采用较高的温度。

#### 利用电流加热加速渗碳过程

1936年盖里冯德（А. С. Гельфонд）发表了应用电流加热来加速渗碳过程的著作。这种试验的示意图如图 2 所示。渗碳工件放在一个陶瓷容器中（装有固体渗碳剂）两个通电的电极之间。电流在两个电极之间通过时，[冲刷]工件并将工件和渗碳剂加热。显而易见，由于钢件具有较高的电导性，所以电流不只是[冲刷]工件，而且能够克服工件和渗碳剂之间的中间电阻而穿过工件。

根据盖里冯德的数据，用这种方法在 $1000^{\circ}\text{C}$ 渗碳 $70\sim75$ 分钟时所得到的渗碳层的总深度为 $1.3\sim1.6$ 毫米。

然而，由上述著作不可能作出关于电流对渗碳过程有加速作用的结论，因为作者对温度的精确测量没有给予应有的注意。因而，作者也就认为温度变动 $40\sim60^{\circ}\text{C}$ 是不算大的，可是大家知道，渗碳温度在此范围内的变化会显著地改变过程的速度。

古德佐夫（Н. Т. Гудцов）和苏敏（И. А. Сумин）〔8〕也进行过利用电流加速渗碳过程的试验。他们试验的示意图如图 3 所示。

欲渗碳的试样放在铁箱中的固体渗碳剂中，而铁箱则放在电

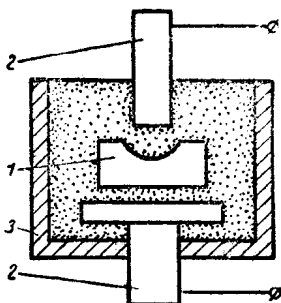


图 2 盖里冯德的通过渗碳箱直接通入电流在固体渗碳中的渗碳試驗的示意图：  
1—工件；2—电极；3—陶瓷容器。

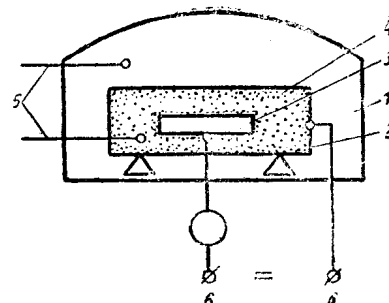


图 3 古德佐夫和苏敏在試驗中所采用的用电流加速渗碳的装置：  
1—电炉炉腔；2—渗碳箱；3—試件；  
4—固体渗碳剂；5—热电偶；6—直流  
电流供給端鉗。

炉内，零件即在此炉中被加热到需要的温度。此外，在零件和渗碳箱之間通 2 到 10 安培的直流电流，根据作者的測量結果发现，渗碳試样表面的溫度比炉內溫度高 40~50℃ 左右。

以这种方案进行的試样渗碳証明有可能在相同的保溫時間（3 小时）下得到比不通电流渗碳时深 0.5~1 倍的渗碳层。

文章的作者作出的結論是，在这种情况下，渗碳过程之所以加速主要是由两个因素：固体渗碳剂由于形成的巨大电弧而趋活化和含有过剩渗碳体的試样表层中局部的强烈过热所引起的。

由此可見，进行这一試驗的条件不可能把上述两个因素的影响区分开来，也不可能回答渗碳过程究竟因为什么而加速这一問題：是由于电流的特殊作用呢，还是因为在渗碳过程中采用了較高的溫度？

1938年，加尔金（А. И. Гардин）〔4〕在渗碳實驗中采用了高频电流进行加热。装置的示意图如图 4 所示。渗碳的試样放置在装有固体渗碳剂的陶瓷杯內。加热試样是用通入频率为  $10^5$  赫芝电流的感应器进行的，溫度用光学高溫計在試样的頂端上測量，檢驗所用試样在炉中加热渗碳。

加尔金所得的数据列于表 1 中。

在上列表中作者得出了关于电流对渗碳过程有加速作用的結論，但这表中必須引入某些修正。

在按图 4 的方案渗碳的过程中，在試样內必然会激发起不很大的单位功率（約 $10\sim15$ 瓦特/厘米 $^2$ ），此功率应仅够补偿散发于周围介质中的热损失。

即使在这样小的单位功率下，因輻射和对流从試样頂端散去的热量仍可能使頂端的溫度大大降到低于与渗碳剂接触承受渗碳的試样圓柱体部分的溫度。

表 1 用頻率 $10^9$ 赫茲的感应电流加热試样时渗碳过程的加速  
(渗碳持续时间 10 分钟) [4]

渗 碳 温 度 (°C)	渗 碳 层 深 度 (毫米)	
	炉 中 加 热	感 应 电 流 加 热
800	0.05	0.18
900	0.1	0.35
1000	0.15	0.65

此外，試样頂端与感应器的上平面的相对位置也对頂端的溫度有影响。甚至試样頂端比感应器的上平面略高时，頂端的溫度也将低于承受渗碳的試样圓柱体部分的溫度。

关于利用电流加速渗碳过程可能性的見解，在一定程度上与格維林 (Н. В. Гевелинг) [5]所提出的关于电流对多相組織中扩散的特殊作用的假設相一致。

但以后薩道夫斯基 (В. Д. Садовский) 的實驗 (14) 和斯別克托爾 (А. Г. Спектор) [16] 的計算工作證明，由于不同結構組份 (渗碳体、鐵素体等) 的电阻不同，所引起的电流对鋼組織的

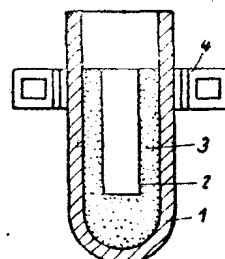


图 4 加尔金的高频電流加热渗碳試驗的示意图[4]:

1—陶瓷杯；2—鋼試样；  
3—渗碳剂；4—加热感应器。

特殊作用极小，也不可能对钢中的扩散过程有重大的影响。

### 提高温度来加速渗碳过程

提高温度是大大加速扩散过程的有效因素。

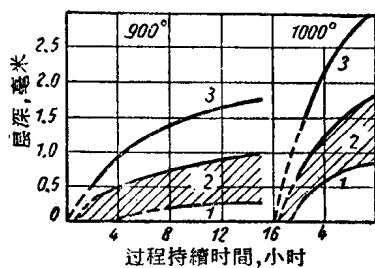


图 5 渗碳层深度与渗碳温度和持续时间的关系[9]:

1—过共析层；2—共析层；3—过渡层。

对钢的机械性能不会起不良的影响。

在斯托罗也夫的研究中，用 18XHMA 铬镍钼钢、18XHBA 铬镍钼钢和 ЭИ274 铬锰钛钢制零件在约 1000°C 温度下进行了渗碳。

虽然渗碳时奥氏体晶粒发生长大，但由于随后热处理的结果，18XHMA 和 18XHBA 并不会失去高的机械性能，这可用表 2 中的数据来说明。

试验还证实了，即使在高温（1000~1200°C）下作长时间的

表 2 在 1000°C 保温数小时及随后热处理后 18XHBA 钢的奥氏体晶粒大小和机械性能的对比

钢中奥氏体晶粒大小		机 械 性 能		
起始的	最终的	$\sigma_b$ (公斤/毫米 <sup>2</sup> )	$\delta$ (%)	$a_k$ (公斤米/厘米 <sup>3</sup> )
8	8	125	61	15.3
7—8	4—5	126.8	62.5	16.2
7—8	4—5	121.9	62.5	16.5
7—3	4—5	123.4	62.5	16.0

停留，鋼的疲劳强度仍能保持在一般热处理时采用的技术条件所要求范围。

斯托罗也夫曾将高溫渗碳法运用到了某一工厂中。經驗表明：高溫渗碳会使炉子工作元件（加热器、耐热馬弗罐、导軌等）的寿命大大縮短，因而限制了它的广泛应用。下面便会看到，利用感应加热就可以設計在高溫下工作的渗碳联合装置，这种装置的工作元件不需要稀缺的貴重材料，并且能够在 $1150\sim1200^{\circ}\text{C}$ 下使用。

除了高溫渗碳的工作外，斯托罗也夫还进行了感应加热在渗碳时应用的試驗[18]。将航空发动机曲軸頸进行了渗碳。由于缺少稳定和測量加热溫度的装置，所以加热溫度的控制是靠手操作来实现的。試驗屬於實驗室性质，所以这一渗碳法尚未应用在生产中。

为了檢查靠什么因素（电流的特殊作用或高的溫度）可以加速感应加热时渗碳过程，作者曾經用装有固体渗碳剂的杯形試样进行了試驗[3]。

試样用20号鋼制成（图6），在其中填滿标准固体渗碳剂（白樺木木炭加 $20\sim25\%$   $\text{BaCO}_3$ ）并用盖盖紧。然后将試样放在感应器中加热。加热溫度用插入試样壁中距外表面 $1.5\sim2.0$ 毫米深处的热电偶测量。由以上可知，承受渗碳的仅为試样的內表面。

热电偶的热端放在欲渗碳表面的附近处，以保証渗碳溫度測量的精确性。

与上述試驗的同时，还将同样的試样在炉中加热进行渗碳。試驗結果列在表3中。

得到的数据表明，在两种加热条件下得到的渗碳层深度实际上 是相同的（在相同的加热溫度时）。因此，感应加热的加速作用，与渗碳过程中电流对鋼組織的〔特殊作用〕无关，而只是由于采用了較高的溫度所致。

为了檢驗这一見解的正确性，曾将20号鋼在固体渗碳剂中用

表3 20号鋼在炉中加热和用感应法加热时渗碳深度測量的結果  
(保温時間1小時)

加 热 条 件	渗 碳 层 的 平 均 深 度 (毫 米)	
	900°C時	1000°C時
炉中	0.4	0.9
用頻率为2000赫芝的电流	0.4	0.85

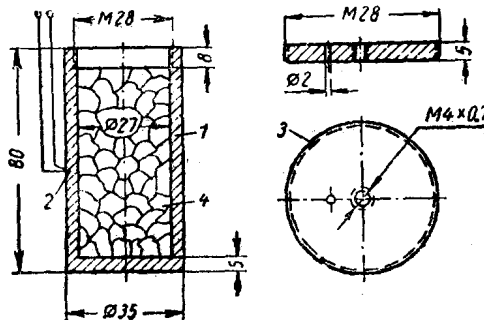


图6 感应加热时加速渗碳过程試驗用的杯形試样:

1—試样；2—热電偶；3—带螺紋的蓋子；4—渗碳剂。

頻率 2000 和 8000 赫芝的电流加热到 1000°C、1100°C 和 1200°C 溫度进行了渗碳試驗。

試驗証明：当溫度和保溫時間相同时，在两种頻率下得到的渗碳层深度实际上是一样的。試驗結果用曲綫表明在图7上，图8所示为渗碳层的顯微組織。

必須指出：无论采用 2000 赫芝或 8000 赫芝的頻率，电流都能把試样壁加热透，因为电流穿进加热到高于居里点的鋼內的深度超过了試样壁的厚度。

为了作出哪一些因素能使感应加热渗碳过程加速的結論，下面就来比較一下在电流直接通过制件和渗碳剂时（如盖里馮德及古德佐夫和苏敏的試驗）以及在感应加热时渗碳过程进行的情况。

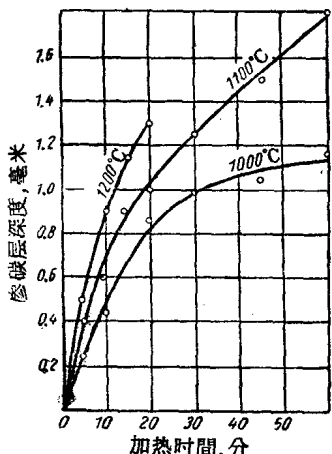


图 7 用频率 2000 和 8000 赫兹的感应电流加热試样时渗碳层深度与渗碳温度和時間的关系。

与渗碳剂的种类（固体的或气体的）无关。在这种情况下电流并不流过制件-渗碳剂的分界面，因此也就不存在能够增加固体渗碳剂活性的巨大电弧形成的条件。

考虑到以上所述和前面提到的薩道夫斯基 [14]、斯別克托尔 [16] 的著作指出，电流对銅中扩散过程的特殊影响的重大作用未被証实时，作者的实验結果显然是合理的，这些結果証明感应加热时如不提高溫度就不可能使渗碳过程加速。

据上所述，在感应加热时只有提高溫度才可能使渗碳过程加速。

提高溫度在感应加热时不会引起什么根本的困难，因为在这种情况下所需要的热量直接发生在被处理的零件內，而且完全不需要什么加热器、馬弗罐或其他当溫度高于1100°C时使用寿命就会受到影响的耐热元件。

在上述的两种情况下，渗碳装置中电流循环的示意图如图 9 所示。

当电流直接通过制件和渗碳剂时，其特点就是电流要通过渗碳剂和工件的分界面。由于金属和渗碳剂間的中間电阻比整块金属的电阻高，因此便为工件表面进行局部高温加热創造了条件。此外，根据古德佐夫和苏敏的意見 [8]，在这种場合下还有促使渗碳剂活化及加速金属表面碳飽和过程的巨大电弧产生。

感应加热时，电流在渗碳零件內系沿着一閉合線路循环，而与渗碳剂的种类（固体的或气体的）无关。与直接通电流时的渗碳不同，在这种情况下电流并不流过制件-渗碳剂的分界面，因此也就不存在能够增加固体渗碳剂活性的巨大电弧形成的条件。

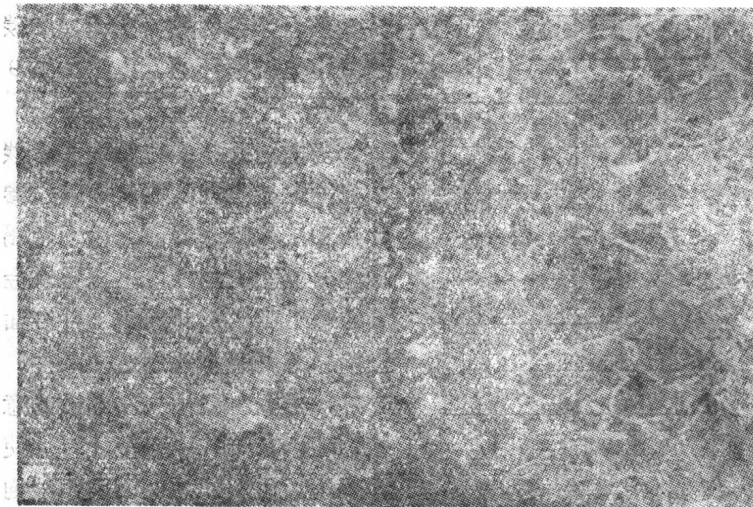


图8 感应加热固体渗碳的20号钢制試样渗碳层的显微組織  
( $\times 100$ ):  $\alpha$ — $1100^{\circ}\text{C}$ , 5分钟, 层深0.9毫米;  $\delta$ — $1200^{\circ}\text{C}$ , 10分钟, 层深0.85毫米。

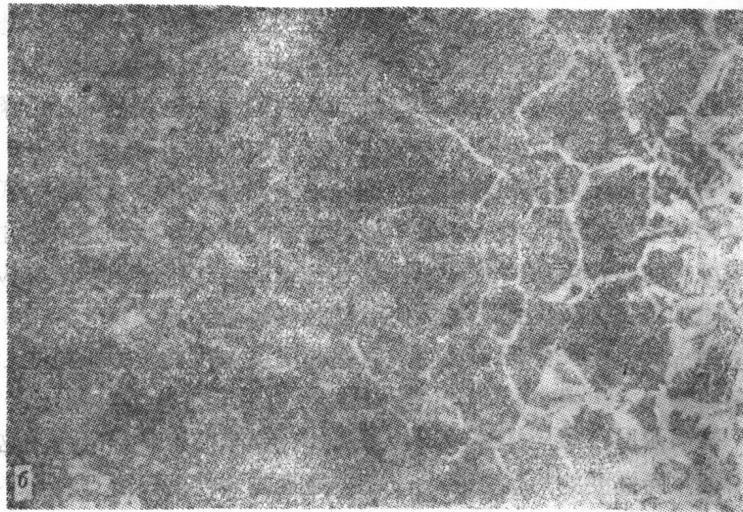


图8 感应加热固体渗碳的20号钢制試样渗碳层的显微組織  
( $\times 100$ ):  
 $\alpha$ — $1100^{\circ}\text{C}$ , 5分钟, 层深0.9毫米;  $\delta$ — $1200^{\circ}\text{C}$ , 10分钟, 层深0.85毫米。